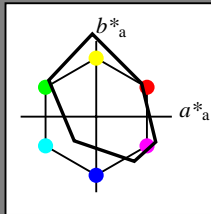


Eingabe: Farbmetrisches Foto-Reflektiv-System FRS12_95a, L*=12_95
mit *lab*rgb**-Daten der vier Elementaruntöne

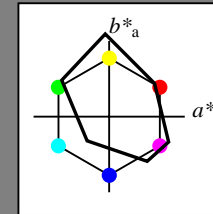
1 0 0 = Rot $R = r00j$
1 1 0 = Gelb $J = j00g$
0 1 0 = Grün $G = g00b$
0 0 1 = Blau $B = b00r$



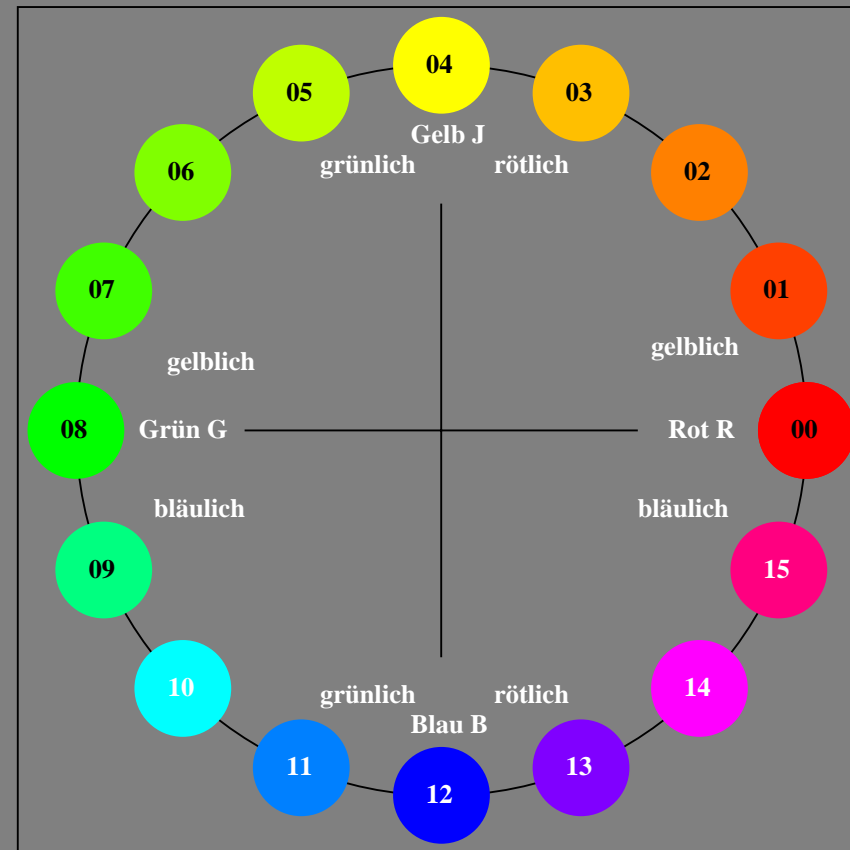
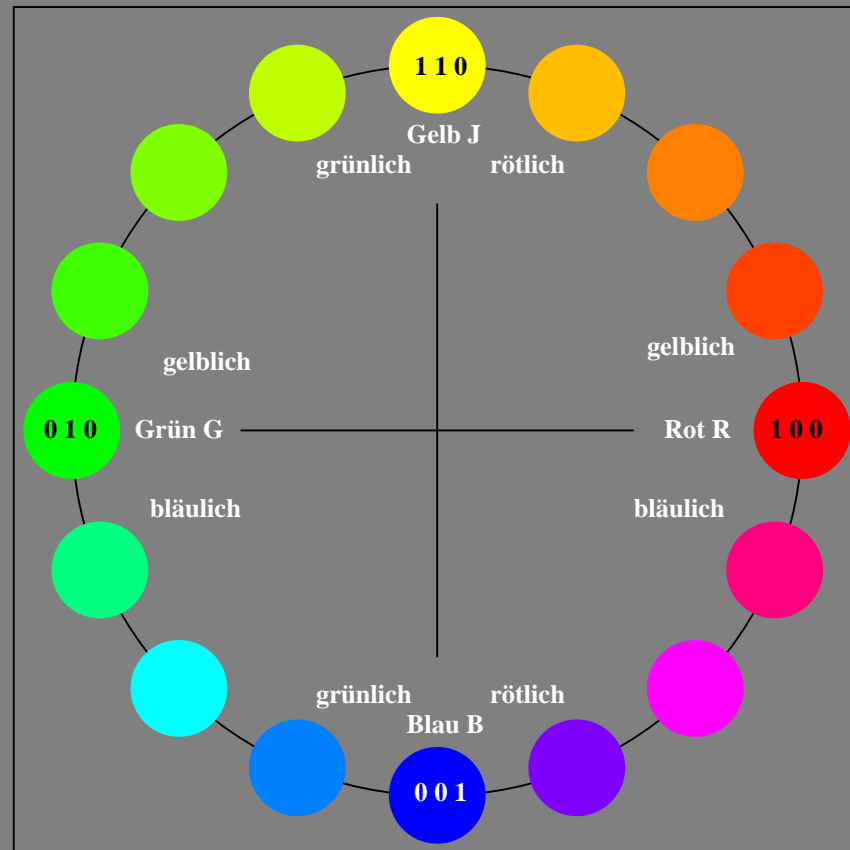
FRS12_95; adaptierte CIELAB-Daten					
	$L^*=L^*_a$	a^*_a	b^*_a	$C^*_{ab,a}$	$h^*_{ab,a}$
O _{Ma}	38.06	60.0	44.0	74.4	36
Y _{Ma}	86.77	-5.16	109.32	109.44	93
L _{Ma}	47.13	-62.66	48.24	79.09	142
C _{Ma}	55.66	-29.13	-31.98	43.27	228
V _{Ma}	17.15	50.3	-59.03	77.57	310
M _{Ma}	40.37	78.64	-33.49	85.48	337
N _{Ma}	11.58	0.0	0.0	0.0	0
W _{Ma}	95.02	0.0	0.0	0.0	0
R _{CIE}	39.92	58.2	35.4	68.12	31
J _{CIE}	81.26	-3.53	80.52	80.6	93
G _{CIE}	52.23	-42.98	21.47	48.06	153
B _{CIE}	30.57	0.9	-39.4	39.42	271

Ausgabe: Farbmetrisches Foto-Reflektiv-System FRS12_95a, L*=12_95
mit Buntton-Nummer und -Text

$n = 00$ bis 15
00 = Rot $R = r00j$
04 = Gelb $J = j00g$
08 = Grün $G = g00b$
12 = Blau $B = b00r$



FRS12_95; adaptierte CIELAB-Daten					
	$L^*=L^*_a$	a^*_a	b^*_a	$C^*_{ab,a}$	$h^*_{ab,a}$
O _{Ma}	38.06	60.0	44.0	74.4	36
Y _{Ma}	86.77	-5.16	109.32	109.44	93
L _{Ma}	47.13	-62.66	48.24	79.09	142
C _{Ma}	55.66	-29.13	-31.98	43.27	228
V _{Ma}	17.15	50.3	-59.03	77.57	310
M _{Ma}	40.37	78.64	-33.49	85.48	337
N _{Ma}	11.58	0.0	0.0	0.0	0
W _{Ma}	95.02	0.0	0.0	0.0	0
R _{CIE}	39.92	58.2	35.4	68.12	31
J _{CIE}	81.26	-3.53	80.52	80.6	93
G _{CIE}	52.23	-42.98	21.47	48.06	153
B _{CIE}	30.57	0.9	-39.4	39.42	271



Fg610-7N, 16-stufiger Bunttonkreis mit Elementarfarben R, J, G, B (links)

16-stufiger Bunttonkreis mit Elementarfarben R, J, G, B (rechts)